

# PRORAČUN STRUJNOG OPTEREĆENJA VISOKONAPONSKIH KABLOVA USLED UTICAJA TOPLOVODA U BETONSKOM KANALU

M. Tanasković, Honorarni konsultant, Beograd, Srbija\*

## KRATAK SADRŽAJ

U prošlosti, različiti cenjeni analitički pristupi su bili posvećeni razmatranju ustaljenoj cikličnoj promeni opterećenja. U mnogim slučajevima u praksi, analitički pristupi obezbeđuju dobre odgovore. Ipak, idealizacije uvedene u modelovanju različitih konstrukcionih detalja i materijala, neminovne u analitičkim pristupima, odražavaju se donekle na dobijene rezultate. Detaljno modelovanje kablovskog rova obezbeđuje metodu konačnih elemenata. Model konačnih elemenata, za proračun strujnog opterećenja podzemnih kablova, uzima u obzir isušivanje zemljišta, odvođenje toplove pomoću strujanja sa površine zemlje i efekte zračenja i zagrevanja površine zemlje od Sunca. Cilj ovog članka je da prikaže rezultate proračuna dozvoljenih strujnih opterećenja kablovskih vodova 110 kV sa čvrstom dielektrikom XHE 49-A 3x(1x1000 mm<sup>2</sup>) 110/64 kV, položenih u zemlju paralelno sa toplovodom u betonskom kanalu, za normalni pogon sa trajnim strujnim opterećenjem. Proračuni su urađeni primenom IEC metode sa zamenom toplovoda ekvivalentnim cilindrom i primenom metode konačnih elemenata. U oba metoda proračuna uvažava se samo da toplovod u betonskom kanalu utiče na energetski kabl, dok se uticaj energetskog kabla na toplovod zanemaruje. Zbog toga, na graničnim površinama betonskog kanala temperatura je modelovana sa konstantnom vrednošću.

**Ključne reči:** kablovi visokog napona, strujno opterećenje, toplovod u betonskom kanalu, metod konačnih elemenata

## ABSTRACT

In the past, various valuable analytical approaches have been elaborated addressing the stationary cyclic variation of load. In most of the cases in practice, the aforementioned approaches provide good answers. However, the idealizations introduced in modelling various structural details and materials, inevitable in analytical approaches, reflect to some extent upon the obtained results. The finite element model, for the calculation of the loading capacity of underground cables, taking into account the soil drying out, heat transfer by convection from the soil surface and radiation and solar heating effects. The aim of this article is to present the results of a calculation of allowed load current of cable lines 110 kV with dielectric of crosslinked polyethylene XHE 49-A 3x(1x1000 mm<sup>2</sup>) 110/64 kV, laid in the ground parallel with the heat pipelines in concrete duct, for the cables with continuous current for normal operation. Calculations were performed using IEC method with replacement of the heat pipelines in concrete duct with an equivalent cylinder and the finite element method. In both methods of calculation, only the heat pipe in the concrete duct affects the power cable, while the influence of the power cable on the heating system is ignored. Therefore, on the boundary surfaces of the concrete duct the temperature is modelled with a constant value.

**Keywords:** High Voltage cables, loading capacity, heat pipelines in concrete duct, Finite Element Method

\* Dr Miladin Tanasković, dipl. inž. el., Honarni konsultant, Beograd, tel. +381(0)11/3165340, E-mail: tanasfam@gmail.com

## 1. UVOD

Određivanje uticaja toplovoda u betonskom kanalu na paralelno položen energetski kabl od prvorazrednog je značaja. Toplotni uticaj toplovodnih cevi u betonskom kanalu (magistralni toplovod) prouzrokuje povišenje temperature okolnog zemljišta oko kablova. Ovaj uticaj kao rezultat ima smanjenje maksimalno dozvoljenog strujnog opterećenja visokonaponskih kablova.

U prošlosti, različiti cenjeni analitički pristupi su bili posvećeni razmatranju strujnog opterećenja kod energetskih kablova [1], [2]. Razvijene su analitičke metode za proračun zagrevanja kablovskih snopova položenih u zemlju [3], [4], [5], za trajne i promenljive uslove. U mnogim slučajevima u praksi, pomenuti

pristupi obezbeđuju dobre odgovore. Ipak, idealizacije uvedene u modelovanju različitih konstrukcionih detalja i materijala, neminovne u analitičkim pristupima, odražavaju se donekle na dobijene rezultate. Detaljno modelovanje kablovskog rova obezbeđuje metoda konačnih elemenata. Ovaj metod je bio korišćen za analizu tranzijentnih temperatura usled „step“ funkcije opterećenja za kablove položene u izotropnom okruženju [6]. Toplotne analize podzemnih kablova koje su razmatrale samo prenos topote provođenjem prikazane su u [7]. Takođe, u [8] su prikazani model konačnih elemenata za proračun strujnog opterećenja kablova uzimanjem u obzir efekta provođenja zbog prenosa vlage oko kablova položenih u zemlji. Model konačnih elemenata za proračun strujnog opterećenja podzemnih kablova koji je bio razrađen u [9], uzimao je u obzir i isušivanje zemljišta i prenos topote strujanjem sa površine zemlje. Glavni doprinos [10] je uključivanje efekata zračenja od Sunca u model konačnih elemenata.

Cilj ovog članka je da prikaže rezultate proračuna dozvoljenih strujnih opterećenja kablovskih vodova 110 kV sa čvrstim dielektrikom XHE 49-A 3x(1x1000 mm<sup>2</sup>) 110/64 kV, položenih u zemlju paralelno sa toplovodom u betonskom kanalu, za normalni pogon sa trajnim strujnim opterećenjem. Proračuni su urađeni primenom IEC metode sa zamjenom toplovoda ekvivalentnim cilindrom i primenom metode konačnih elemenata. U ova metoda proračuna uvažava se samo da toplovod u betonskom kanalu utiče na energetski kabl, dok se uticaj energetskog kabla na toplovod zanemaruje. Zbog toga, na graničnim površinama betonskog kanala temperatura je modelovana sa konstantnom vrednošću.

## 2. PRORAČUN STRUJNOG OPTEREĆENJA PRIMENOM IEC METODE SA ZAMENOM TOPLOVODA EKVIVALENTNIM CILINDROM

Dozvoljeno trajno (100%) strujno opterećenje usamljenog energetskog kablovskog voda  $I$  položenog u zemlju bez isušivanja okolnog zemljišta određuje se prema [3, 4] iz:

$$I = \sqrt{\frac{\Delta\Theta - W_d \cdot [0,5 \cdot T_1 + n \cdot (T_2 + T_3 + T_4)]}{R \cdot T_1 + n \cdot R \cdot (1 + \lambda_1) \cdot T_2 + n \cdot R \cdot (1 + \lambda_1 + \lambda_2) \cdot (T_3 + T_4)}}, \quad (1)$$

gde je:

$I$  (A) - dozvoljeno trajno strujno opterećenje kablovskog voda (tri jednožilna kabla);

$\Delta\Theta$  (°C) - dozvoljeni priraštaj temperature provodnika iznad temperature okoline;

$R$  (Ω/m) - električna otpornost provodnika po jedinici dužine pri naizmeničnoj struji na maksimalnoj radnoj temperaturi;

$W_d$  (W/m) - dielektrični gubici u izolaciji po jedinici dužine;

$n$  - broj provodnika u kablu;

$T_1$  (Km/W) - topotna otpornost između provodnika i električne zaštite po jedinici dužine;

$T_2$  (Km/W) - topotna otpornost između električne zaštite i armature po jedinici dužine;

$T_3$  (Km/W) - topotna otpornost spoljne zaštite kabla po jedinici dužine;

$T_4$  (Km/W) - topotna otpornost između površine kabla i sredine koja ga okružuje po jedinici dužine;

$\lambda_1$  - količnik (faktor) gubitaka u električnoj zaštiti i gubitaka u provodniku;

$\lambda_2$  - količnik (faktor) gubitaka u armaturi i gubitaka u provodniku.

Isušivanje okolnog zemljišta eliminisano je polaganjem kablovskog voda u specijalnu posteljicu koja sprečava migriranje vlage [11]. Kod jednožilnih visokonaponskih kablova sa izolacijom od umreženog polietilena (XPE, na primer kabl tipa XHE 49 A) je:  $T_2 = 0$  i  $\lambda_2 = 0$  jer konstruktivno nemaju armaturu. Dozvoljeno trajno (100%) strujno opterećenje tri usamljena jednožilna kabla položena u „trouglastom“ snopu ( $n = 1$ ,  $\lambda_2 = 0$ ,  $T_2 = 0$ ), sa električnim zaštitama koje su kratko spojene i uzemljene na oba kraja kablovskog voda, bez preplitanja (transpozicija - cross bonding), bez isušivanja okolnog zemljišta, na osnovu izraza (1) određuje se iz:

$$I = \sqrt{\frac{\Delta\Theta - W_d \cdot (0,5 \cdot T_1 + T_3 + T_4)}{R \cdot T_1 + R \cdot (1 + \lambda_1) \cdot (T_3 + T_4)}}. \quad (2)$$

Izrazi za proračun električne otpornosti provodnika  $R$ , dielektričnih gubitaka u izolaciji  $W_d$ , kao i topotnih otpornosti  $T_1$ ,  $T_3$  i  $T_4$  dati su u [4].

Za kabl XHE 49-A 1 x 1000/95 mm<sup>2</sup> 64/110(123) kV spoljni prečnik kabla je  $d = 90,4$  mm i  $h = 1445$  mm. Ostali parametri za proračun strujnog opterećenja su:

$$\rho_c = 1 \text{ K}\cdot\text{m}/\text{W};$$

$$R = 0,041 \cdot 10^3 \Omega/\text{m};$$

$$W_d = 0,4 \text{ W/m};$$

$$\lambda_1 = 0,262;$$

$$T_1 = 0,349 \text{ K}\cdot\text{m/W};$$

$$T_3 = 0,05 \text{ K}\cdot\text{m/W};$$

$$T_4 = 1,729 \text{ K}\cdot\text{m/W}.$$

U primeru koji se razmatra dozvoljeno trajno (100%) strujno opterećenje usamljenog energetskog kablovskog voda položenog u zemlji prema (2) je:

$$I = \sqrt{\frac{(90-3)-0,4 \cdot (0,5 \cdot 0,349 + 0,05 + 1,729)}{0,041 \cdot 10^{-3} \cdot 0,349 + 0,041 \cdot 10^{-3} \cdot (1+0,262) \cdot (0,05 + 1,729)}} = 900,36 \text{ A}.$$

Dozvoljeno trajno (100%) strujno opterećenje energetskog kablovskog voda  $I_{kt}$  položenog u „trouglastom“ snopu, bez isušivanja okolnog zemljišta, na rastojanju  $L$  od betonskog kanala toplovoda (slika 1.) određuje se iz [12]:

$$I_{kt} = \sqrt{\frac{\Delta\Theta - W_d \cdot (0,5 \cdot T_1 + T_3 + T_4) - P_t \cdot \frac{\rho_z}{2 \cdot \pi} \cdot \ln \frac{a_1}{a}}{R \cdot T_1 + R \cdot (1 + \lambda_1) \cdot (T_3 + T_4)}}, \quad (3)$$

gde su:

$P_t$  ( $\text{W/m}$ ) - podužne snage toplovoda kada u njegovoj blizini nema drugih toplotnih izvora;

$a$  ( $\text{m}$ ) – rastojanje ose toplovoda (ekvivalentnog cilindra) od ose kablovskog voda;

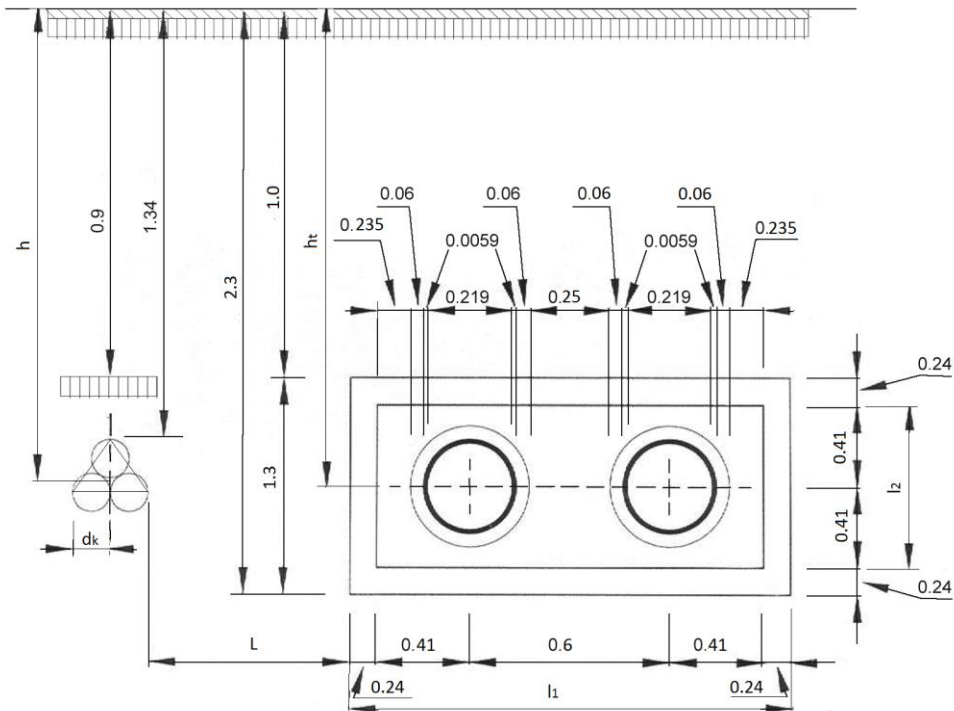
$a_1$  ( $\text{m}$ ) - rastojanje ose lika toplovoda od ose kablovskog voda.

Uticaj toplovoda u betonskom kanalu (magistralni toplovod) na paralelno položen elektroenergetski kabl određuje se izračunavanjem podužne snage toplovoda  $P_t$  kada se stvarni toplovod ekvivalentira cilindrom prečnika:

$$d_{te} = 4 \cdot \frac{l_1 \cdot l_2}{2 \cdot (l_1 + l_2)} = \frac{2 \cdot l_1 \cdot l_2}{l_1 + l_2} = \frac{2 \cdot 1,9 \cdot 0,82}{1,9 + 0,82} = 1,146 \text{ m}, \quad (4)$$

gde su  $l_1(\text{m})$  i  $l_2(\text{m})$  spoljna širina i unutrašnja visina betonskog kanala.

Poprečni presek paralelno položenog toplovoda u betonskom kanalu i kablovskog voda 110 kV prikazan je na slici 1.



Slika 1. Poprečni presek toplovoda u betonskom kanalu i kabla 110 kV

Faktor geometrije ekvivalentnog cilindra je:

$$k_{te} = \frac{2 \cdot h_t}{d_{te}} + \sqrt{\left(\frac{2 \cdot h_t}{d_{te}}\right)^2 - 1} = \frac{2 \cdot 1,65}{1,146} + \sqrt{\left(\frac{2 \cdot 1,65}{1,146}\right)^2 - 1} = 5,579, \quad (5)$$

gde je  $h_t$  (m) dubina ose toplovoda u betonskom kanalu.

Ambijentni uslovi i temperatura spoljnog zida betonskog kanala toplovoda kada u njegovoj blizini nema drugih toplotnih izvora su prema [13]:

- temperatura vazduha  $\vartheta_v = -3^\circ C$ ,
- temperatura zemlje na dubini polaganja kabla i toplovoda  $\vartheta_z = 3^\circ C$  i
- temperatura spoljnog zida betonskog kanala toplovoda  $\vartheta_t = 29,4^\circ C$ .

Nadtemperatura spoljnog zida betonskog kanala toplovoda kada u njegovoj blizini nema drugih toplotnih izvora je:

$$\Delta \vartheta_{tz} = \vartheta_t - \vartheta_z = 29,4 - 3 = 26,4^\circ C. \quad (6)$$

Sada je podužna snaga toplovoda [12]:

$$P_t = \frac{2 \cdot \pi \cdot \Delta \vartheta_{tz}}{\rho_z \cdot k_{te}} = \frac{2 \cdot \pi \cdot 26,4}{1 \cdot \ln 5,579} = 96,5 \frac{W}{m}. \quad (7)$$

Rastojanje ose toplovoda (ekvivalentnog cilindra) od ose kablovskog voda je:

$$a = \sqrt{\left(L + \frac{l_1}{2}\right)^2 + (h_t - h)^2} = \sqrt{\left(1,0 + \frac{1,9}{2}\right)^2 + (1,65 - 1,445)^2} = 1,961 m. \quad (8)$$

Rastojanje ose lika toplovoda od ose kablovskog voda je:

$$a_1 = \sqrt{\left(L + \frac{l_1}{2}\right)^2 + (2 \cdot h_t - h)^2} = \sqrt{\left(1,0 + \frac{1,9}{2}\right)^2 + (2 \cdot 1,65 - 1,445)^2} = 2,695 m. \quad (9)$$

U primeru koji se razmatra dozvoljeno trajno (100%) strujno opterećenje energetskog kablovskog voda  $I_{kt}$  položenog u zemlji na rastojanju  $1,0 m$  od betonskog kanala toplovoda prema (3) je:

$$I_{kt} = \sqrt{\frac{(90 - 3) - 0,4 \cdot (0,5 \cdot 0,349 + 0,05 + 1,729) - 96,5 \cdot \frac{1}{2 \cdot \pi} \cdot \ln \frac{2,695}{1,961}}{0,041 \cdot 10^{-3} \cdot 0,349 + 0,041 \cdot 10^{-3} \cdot (1 + 0,262) \cdot (0,05 + 1,729)}} = 874,49 A.$$

Dozvoljeno strujno opterećenje usamljenog kablovskog voda  $110 kV$  proračunato IEC metodom sa zamjenom toplovoda ekvivalentnim cilindrom veće je za  $3\%$  u odnosu na kablovski vod  $110 kV$  paralelno položen sa betonskim kanalom toplovoda udaljenim  $1 m$ .

### 3. PRORAČUN STRUJNOG OPTEREĆENJA PRIMENOM METODE KONAČNIH ELEMENATA (MKE)

#### 3.1 Jednačina provođenja topline

Maksimalno dozvoljeno trajno strujno opterećenje kablovskog voda  $110 kV$ , određuje se primenom metode konačnih elemenata na osnovu proračuna raspodele temperature u i oko kablovskog voda za slučaj stacionarnog prenosa topline u dvodimenzionalnoj oblasti sa homogenim i izotropnim toplotnim karakteristikama materijala [9], [14]:

$$k \cdot \nabla^2 \vartheta = -\frac{Q}{\rho \cdot c}, \quad (10)$$

gde je  $Q$  unutrašnji izvor topline po jedinici zapremine,  $k$  je koeficijenat toplotne provodnosti,  $\rho$  je gustina,  $c$  je specifična toplota. Rešenje jednačine stacionarnog provođenja topline sa pridruženim graničnim uslovima daje vrednost nepoznate temperature. Najčešći slučajevi graničnih uslova su definisana temperatura površine,

definisan površinski protok toplove, razmena toplove strujanjem (konvekcijom) i razmena toplove zračenjem (radijacijom). Granični uslovi definisani razmenom toplove zračenjem su po prirodi nelinearni, i nelinearne jednačine se moraju rešiti iterativno. Da bi se izbegle iteracije, koje je korektno koristiti za nelinearnosti, u [10] je predložena jedna linearna aproksimacija za modelovanje zračenja toplove sa Sunca.

### 3.2 Formulacija konačnim elementima

Opšti oblik jednačine stacionarnog provođenja toplove za oblast koja se razmatra, podeljenu u mrežu konačnih elemenata sa  $N$  čvorova, je [9, 10, 14]

$$[K][\vartheta(t)] = [R], \quad (11)$$

gde je:  $[\vartheta(t)]$   $N$  dimenzionalni vektor kolona temperatura čvorova,  $[K]$   $N \times N$  matrica toplove provodnosti, strujanja i zračenja i  $[R(t)]$   $N$  dimenzionalni vektor toplovnih opterećenja koji potiče od unutrašnjeg toplovnog izvora, površinskog strujanja, zračenja i zagrevanja od Sunca. Parametri matrica u (11) su:

$$[K] = [K_c] + [K_h] + [K_r] \quad (12)$$

$$[R] = [R_Q] + [R_h] + [R_r] + [R_s] \quad (13)$$

gde se indeksi  $c$ ,  $h$ ,  $r$  i  $s$  u (12) i (13) odnose na provođenje, strujanje, zračenje i zagrevanje od Sunca, respektivno. Indeks  $Q$  odnosi se na unutrašnju proizvodnju toplove u elementu. Džulovi gubici u faznim provodnicima i metalnim ekranima su uzeti pri proračunu, kao i dielektrični gubici u izolaciji. Emitovana toplova sa Sunca na površinu Zemlje razmatra se kao maksimalna dnevna vrednost za mesec u godini za koji se radi proračun. Ova toplova se delimično apsorbuje od tela koja su izložena. Konstanta apsorbacije tela definiše stepen apsorbacije. Za sivo obojenu asfaltnu površinu ova konstanta jednaka je  $\alpha_0 = 0.80$ .

U ovoj analizi korišćeni su trougaoni konačni elementi. Matrice koje figurišu u (11) – (13) dobijene su transformacijom korespondentnih relacija o međusobnim odnosima za elemente napisane za njihove čvorove u lokalnim koordinatama prema šemi označavanja cele mreže. Izrazi (12) i (13) u njihovom opštem obliku su važeći samo za granične elemente sa ivicama na površini trotoara. Za sve ostale čvorove samo  $[K_c]$  i  $[R_Q(t)]$  na desnoj strani ovih izraza su matrice sa ne nula elementima. Temperature čvorova udaljenih od kablova su fiksirane na predpostavljenoj vrednosti temperature ambijenta.

Koeficijenti matrica u jednačinama (11), (12) i (13) za trougaone elemente, u njihovim lokalnim koordinatama, su kao one date u [6, 9, 14]. One su kompletirane sa izrazima za zračenje i zagrevanje od Sunca [10]:

$$[K_c] = kdS[B]^T[B] \quad (14)$$

$$[B] = \frac{1}{2S} \begin{bmatrix} b_1 & b_2 & b_3 \\ c_1 & c_2 & c_3 \end{bmatrix} \quad (15)$$

$$b_1 = y_2 - y_3, \quad b_2 = y_3 - y_1, \quad b_3 = y_1 - y_2 \quad (16)$$

$$c_1 = x_2 - x_3, \quad c_2 = x_3 - x_1, \quad c_3 = x_1 - x_2$$

$$[K_h] = \frac{1}{6} dhl_{12} \begin{bmatrix} 2 & 1 & 0 \\ 1 & 2 & 0 \\ 0 & 0 & 0 \end{bmatrix} \quad (17)$$

$$[K_r] = \frac{1}{6} dg_0 l_{12} \begin{bmatrix} 2 & 1 & 0 \\ 1 & 2 & 0 \\ 0 & 0 & 0 \end{bmatrix} \quad (18)$$

$$[R_Q] = \frac{1}{3} Q(t) dS \begin{bmatrix} 1 \\ 1 \\ 1 \end{bmatrix} \quad (19)$$

$$[R_h(t)] = \frac{1}{2} \vartheta_e(t) d h l_{12} \begin{bmatrix} 1 \\ 1 \\ 0 \end{bmatrix} \quad (20)$$

$$[R_r(t)] = \frac{1}{2} \vartheta_e(t) g_{01} \sigma \varepsilon_0 d l_{12} \begin{bmatrix} 1 \\ 1 \\ 0 \end{bmatrix} \quad (21)$$

$$[R_s] = \frac{1}{2} \alpha_0 E d l_{12} \begin{bmatrix} 1 \\ 1 \\ 0 \end{bmatrix}. \quad (22)$$

U (14) - (22)  $\rho$  i  $c$  su gustina i specifični topotni kapacitet materijala,  $S$  i  $d$  su površina trougla i aksijalna dužina kablovske deonice,  $k$  i  $h$  su koeficijenti provođenja i strujanja,  $x_k$  i  $y_k$ ,  $k=1,2,3$ , su površinske pravougaone koordinate čvorova trougaonih elemenata.  $l_{12}$  je dužina ivice trougla koja spaja čvorove 1 i 2,  $Q(t)$  je izvor topote unutar elementa,  $\vartheta_e(t)$  je temperatura vazduha, i  $\alpha_0$  je koeficijent apsorbacije površine trotoara. Kao što se može videti iz gornjih izraza, svi članovi u (14) i (17) do (22) su proporcionalni sa  $d$  i ovi izrazi važe za sve vrednosti ovog parametra. Usvojena vrednost u ovoj analizi bila je  $d = 1\text{ m}$ .

U izvođenju izraza navedenih iznad, predpostavili smo da je razmena topote strujanjem i zračenjem od Sunca kod trougaonih elemenata kroz njihovu ivicu koja spaja čvorove 1 i 2.

#### 4. PRIMENA

##### 4.1 Podaci o toplovodnim cevima i kablu

Tabela 1. prikazuje sve relevantne podatke o kablu, toplovodnim cevima i rovu. Kablovska posteljica je načinjena od specijalne mešavine koja sprečava isušivanje.

Koeficijenat strujanja na površini zemlje je  $h = 5\text{ W/(K m}^2)$  kao u [6]. Makimalno dozvoljena temperatura provodnika za ciklično opterećenje je  $\vartheta_m = 90^{\circ}\text{C}$ . Džulovi gubici provodnika i bakarnog ekrana na  $\vartheta_m$  su  $0,0408 \times 10^{-2} I^2$  i  $0,0271 \times 10^{-2} I^2$ , dok su dielektrični gubici na naznačenom naponu jednaki 1,193, respektivno, gde su svi gubici iskazani u  $\text{W/m}$ .  $I(t)$  je efektivna vrednost trajnog strujnog opterećenja kabla.

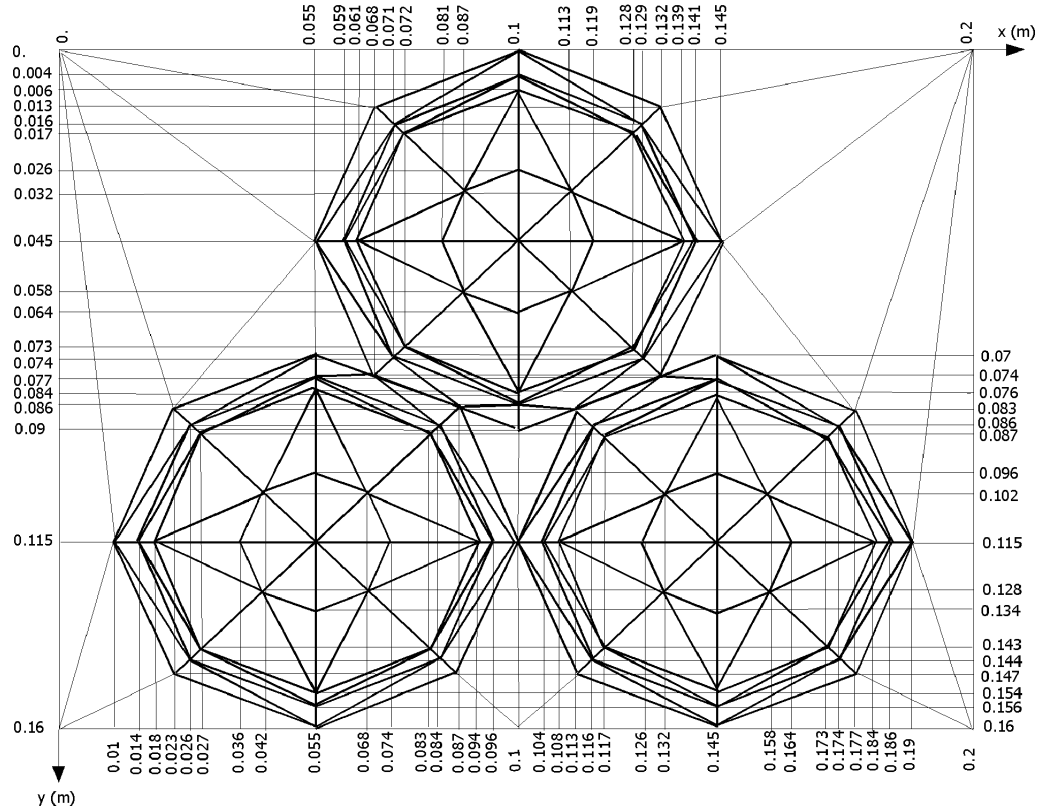
Prikazani model konačnih elemenata primjenjen je da se odredi strujno opterećenje trofaznog 110kV kablovskog sistema sa čvrstim dielektrikom u formaciji „detelina“ koji je postavljen na rastojanju 1,0 m od toplovodnih cevi u betonskom kanalu (Sl.1.).

Tabela 1. Podaci o relevantnim materijalima

Materijal	Koeficijenat provođenja k W/(Km)	Gustina $\rho$ kg/dm <sup>3</sup>	Specifična topota c (J/(Kkg))x10 <sup>3</sup>
Aluminijumski provodnik	220	2,70	0,919
Izolacija	0,286	0,93	3,978
Bakarni ekran	385	8,92	0,393
Spoljni plasti	0,286	0,92	2,610
Specijalna posteljica	1,219	1,95	1,026
Beton	1,111	2,20	0,832
Asfalt	0,605	2,10	921
Okolno zemljишte	0,83/0,4	1,49	1,054
Čelik	46	7,8	0,485
Voda	0,6	1,0	4,186
Neimpregnisana kamena vuna	0,04	0,1	1680

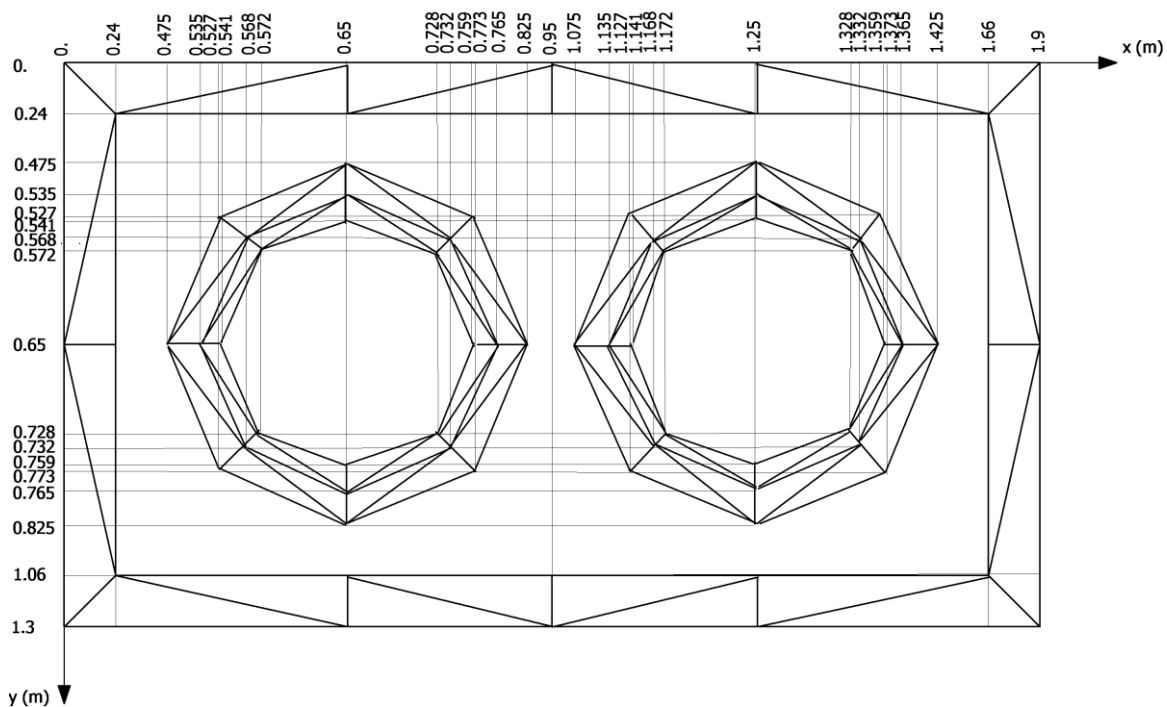
## 4.2 Mreža konačnih elemenata

Slika 2. prikazuje mrežu konačnih elemenata trofaznog sistema 110 kV kablova.



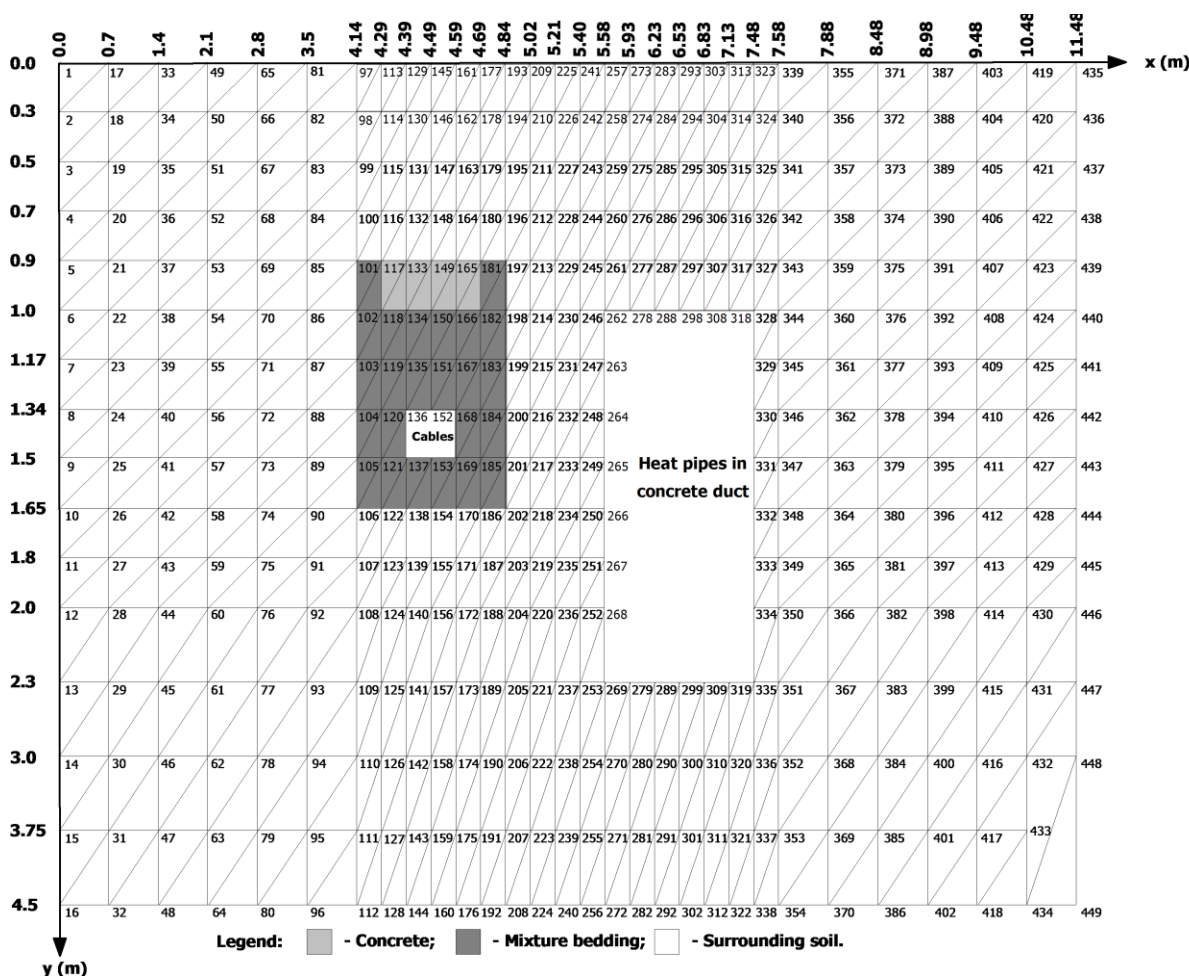
Sl. 2 Mreža konačnih elemenata 110 kV trofaznog sistema kablova.

Slika 3. prikazuje mrežu konačnih elemenata za toplovodne cevi u betonskom kanalu. Mere na slikama 2. i 3. su u njihovim lokalnim koordinatama.



Sl. 3 Mreža konačnih elemenata toplovodnih cevi u betonskom kanalu.

Slika 4. prikazuje mrežu konačnih elemenata za kablove i toplovodne cevi u betonskom kanalu.



Sl. 4. Mreža konačnih elemenata za kablove i toplovodne cevi u betonskom kanalu.

#### 4.3 Rezultati proračuna

Proračuni su urađeni za minimalno rastojanje trofaznog kablovskog sistema i betonskog kanala toplovoda od 1,0 m zbog potrebnog prostora za eventualne intervencije bilo na kablovima, bilo na toplovodu.

Kod proračuna uticaja toplovoda u betonskom kanalu na kablovski vod toplovod se modeluje sa Dirichleovim uslovima na bočnoj strani betonskog kanala bližoj kablovskom vodu (tačke 262 – 269 u mreži konačnih elemenata sa slike 4.) sa temperaturom od 29,4 °C. Zbog ovakvog modelovanja toplovoda ne uvažava se prenos toplove zračenjem sa toplovodnih cevi na betonski kanal.

Proračunate vrednosti strujnog opterećenja primenom IEC metode i MKE date su u Tabeli 2.

Tabela 2. Proračunate vrednosti dozvoljenog trajnog strujnog opterećenja

Način polaganja kabla	IEC Dozvoljena struja [A]	MKE Dozvoljena struja [A]
Usamljeni kablovski vod	900,4	930,0
Kablovski vod na 1,0 m od betonskog kanala	874,5	910,0

## 5. ZAKLJUČAK

Dozvoljeno trajno strujno opterećenje trofaznog kablovskog sistema udaljenog  $1,0\text{ m}$  od betonskog kanala toplovoda, u odnosu na usamljeni kablovski vod, manje je za oko 3 % kod IEC metode i 2,2 % kod MKE.

Uticaj toplovoda u betonskom kanalu na trofazni kablovski sistem kvantitativno se valorizuje na isti način i analitičkim i numeričkim pristupom.

Proračunate vrednosti dozvoljenog strujnog opterećenja MKE veće su od proračunatih vrednosti primenom IEC metode za oko 3,3 % kod usamljenog kabla, odnosno za oko 4 % kod kabla na udaljenu  $1\text{ m}$  od toplovoda.

## 6. LITERATURA

- [1] G. Mainka, "Berechnung der Belastbarkeit von in Erde verlegten Starkstromkabeln, Unter Berücksichtigung von Belastungsfaktor und Bodenaustrocknung", *ETZ-A*, vol. 92, No 3, pp.125-130, 1971.
- [2] L. Heinhold , *Power Cables and Their Applications*, Third Edition, Siemens Aktiengesellschaft, Erlangen, 1990.
- [3] F. Winkler , *Strombelstbarkeit von Starkstromkabeln in Erde bei Berücksichtigung der Bodenaustrocknung und eines Tageslastspiels*, ETZ Report 13, VDE Verlag, Berlin, 1978.
- [4] IEC 60287/2006: Calculation of the continuous current rating of cables (100% load factor).
- [5] IEC 60853-2/1989-07: Calculation of the cyclic and emergency current rating of cables.
- [6] N. Flatabo, "Transient heat conduction problems in power cables solved by the finite element method", *IEEE PES Summer Meeting*, No T 72 508-0, San Francisco, July 9-14, 1972.
- [7] D. Mushamalirwa, N. Germay, and J. C. Streffens , "A 2-D finite element mesh generator for thermal analysis of underground power cables", *IEEE Trans. on Power Delivery*, vol.3 No.1, pp. 62-68, January 1988.
- [8] G. J. Anders, H. S. Radhakrishna, "Power cable thermal analysis with consideration of heat and moisture transfer in the soil", *IEEE Trans. Power Delivery*, vol.3, No.4. pp.1280-1288, October 1988.
- [9] J. Nahman, and M. Tanaskovic, "Determination of the current carrying capacity of cables using the finite element method", *Electric Power Systems Research* vol. 61, pp.109-117, 2002.
- [10] J. Nahman, M. Tanaskovic "Calculation of the ampacity of high voltage cables by accounting for radiation and solar heating effects using FEM". Article first published online: 14 DEC 2011. DOI: 10.1002/etep.660. Copyright © 2011 John Wiley & Sons.
- [11] Tehnička preporuka br.3 ED Srbije: "Osnovni tehnički zahtevi za izbor i montažu energetskih kablova i kablovskog pribora u elektrodistributivnim mrežama 1 kV, 10 kV, 20 kV, 35 kV i 110 kV", V-0 izdanje, novembar 2012. godina.
- [12] D. Tasić: "Osnovi elektroenergetske kablove tehnike – Zbirka zadataka", SXPRINTCOPY, Niš, 2003.
- [13] "Merenja temperatura u zemlji pored toplovoda", JKP „Beogradske elektrane“ Beograd, 1991.
- [14] K. Huebner, and E. Thornton, *The Finite Element Method for Engineers*, J. Wiley & Sons, New York, 1982.